

بررسی تأثیر انرژی چشمہ بر روی کیفیت پروفایل شمارش بدست آمده از تکنیک اسکن به کمک پرتوهای گاما در عیب‌یابی یک ستون تقطیر سینی‌دار آزمایشگاهی

هادی شهابی‌نژاد^{۱*} و سید امیرحسین فقهی^۲

^۱دانشگاه صنعتی شریف، تهران، ایران.

^۲دانشگاه شهید بهشتی، تهران، ایران.

*تهران، دانشگاه صنعتی شریف، دانشکده مهندسی انرژی، کد پستی: ۱۴۵۶۵-۱۱۴

پست الکترونیکی: shahabinejad@energy.sharif.ir

چکیده

در این مقاله تأثیر انرژی چشمہ بر روی کیفیت پروفایل شمارش بدست آمده از تکنیک اسکن به کمک پرتوهای گاما بررسی شده است. برای بررسی تأثیر انرژی چشمہ، یک برج تقطیر آزمایشگاهی (با سینی‌های یک گذر و قطر ۵۱ سانتی‌متر) همراه با آشکارسازتابشی (NaI(Tl) با ابعاد یک اینچ در یک اینچ) مورد استفاده قرار گرفت. جهت شبیه‌سازی ستون تقطیر در شرایط عملکردی عادی و عیب‌دار، از کد مونت کارلوی MCNPX استفاده شد. چشممهای Cs-137 و Co-60 برای بررسی تأثیر انرژی چشمہ مورد استفاده قرار گرفتند. نتایج شبیه‌سازی اسکن ستون سینی‌دار با نتایج تجربی مورد ارزیابی قرار گرفته و تأیید شده‌اند. نتایج حاکی از آن است که چشممه Cs-137 منجر به آمار شمارش بهتر برای ستون مورد تحقیق می‌شود و عیب کف روی سینی با این چشممه برای ستون مذکور بهتر تشخیص داده می‌شود.

کلیدواژگان: تکنیک اسکن به کمک پرتوهای گاما، برج‌های تقطیر، عیب‌یابی، شبیه‌سازی مونت کارلو، آشکارسازتابشی، چشممه رادیوازنوتوبی.

های این ستون‌ها در سریع‌ترین زمان ممکن تشخیص داده شده و جهت رفع آن‌ها اقدامات لازم انجام شود. تنها روش موجود که بتواند در سریع‌ترین زمان ممکن و به صورت برخط (On-line) عیوب را در محل خودشان تشخیص دهد تکنیک اسکن به کمک پرتوهای گاما می‌باشد. این تکنیک همچنین کاملاً غیر مخرب و مقرن به صرفه اقتصادی می‌باشد [۱-۳].

اسکن برج‌های تقطیر از مدت‌ها قبل در سراسر دنیا انجام می‌شود و سابقه‌ای ۵۰ ساله دارد [۴]. یک مرحله‌ی بسیار مهم

۱. مقدمه

برج‌های تقطیر، عناصری اساسی در پالایشگاه‌های نفتی و تأسیسات گازی، شیمی و پتروشیمی می‌باشند و بازدهی این تأسیسات شدیداً وابسته به این است که برج‌های مذکور طبق روال پیش‌بینی شده کار کنند. در شرایط نامناسب، یک یا چند عیب ممکن است رخ دهد. این عیوب در ستون‌ها علاوه بر ایجاد خطرات آتش‌سوزی و آلودگی‌های محیطی، باعث تلفات مالی و تولیدی بزرگی می‌شوند. بنابراین لازم است که عیب-

سینی دار، شدت تابش عبوری از سینی ها بسیار کمتر از قسمت های دیگر خواهد بود.

همان طور که در قسمت های (a) و (b) شکل ۱ نشان داده است، ابزار آزمایش تجربی شامل یک برج تقطیر آزمایشگاهی با قطر خارجی ۵۱ سانتی متر، با ۶ سینی و ۶ ناوдан^۱ به ضخامت ۳ میلی متر از جنس استیل و همچنین فضای بخار ۱۸ سانتی متر (فضای بین سطح مایع روی سینی و سینی بالای آن)، یک چشم می باشد. با اکتیویته ۸ mCi Cs-137 با ابعاد 1inch×1inch می باشد. یک آشکارساز تابش NaI با ابعاد ۱۷ g/cm³، روی سینی شده است. برای شبیه سازی ستون در محیط شبیه سازی MCNPX از نقشه ستون سینی دار استفاده شد. MCNPX یک کد مونت کارلو می باشد که به طور گسترده برای مسائل ترابرد نوترون، فوتون، الکترون و یا ترکیبی از آنها استفاده می شود [۷]. شرایط عادی و عیوب دار ستون شبیه سازی شده در قسمت های (c) و (d) شکل ۱ نشان داده شده اند. عیوب های زیر در ستون تعییه شده اند:

- قراردادن یک فوم با چگالی ۱۷ g/cm³، روی سینی شماره ۳ جهت مدل کردن کف روی سینی (Foaming).
- قرار ندادن آب روی سینی ۴ جهت مدل کردن عیوب سینی (Damaged tray).
- جمع شدن آب تا بالای سینی شماره ۶ جهت مدل کردن طغیان مایع (Flooding).

محاسبات شبیه سازی به ازای هر ذره چشم می باشد. با شده است و خطای محاسبات کمتر از ۵ درصد می باشد. با توجه به اینکه وضوح پروفایل بدست آمده ناشی از شمارش های زیر فوتوپیک بیشتر از شمارش های کل آشکارساز می باشد [۵]، در اندازه گیری ها و شبیه سازی ها از شمارش های زیر فوتوپیک استفاده شده است.

در فرآیند اسکن برج ها، تحلیل پروفایل های چگالی بدست آمده از تکنیک اسکن می باشد. هرچه بتوان کیفیت پروفایل های چگالی بدست آمده به کمک این روش را بهبود بخشید تحلیل آنها و در نتیجه تشخیص شرایط عملکردی برج راحت تر خواهد بود [۵ و ۶]. یکی از عوامل تأثیرگذار در کیفیت پروفایل چگالی، نوع و انرژی چشم می باشد. این رفته در اسکن ستون تقطیر می باشد. از آنجایی که تابش گامای مورد استفاده برای اسکن ستون تقطیر باید توانایی عبور از ضخامت های بالا را داشته باشد، به طور معمول چشم های Cs-137 و Co-60 استفاده می شوند [۴]. با توجه به این که فرآیند اسکن به کمک پرتوهای گاما زمان گیر می باشد، انتخاب چیدمان بهینه برای اسکن به صورت تجربی معقول نمی باشد.

در این مقاله پس از صحبت سنجی نتایج شبیه سازی مونت کارلو با داده های تجربی، تأثیر انرژی چشم می بر کیفیت پروفایل شمارش با استفاده از شبیه سازی مونت کارلو مورد بررسی قرار می گیرد.

۲. مواد و روش ها

در اسکن به کمک پرتوهای گاما، یک چشم مهروموم شده و یک آشکارساز به طور همزمان و در گام های کوچک و در یک صفحه افقی در راستای برج از بالا تا پایین جابه جا می شوند. در هر ارتفاع ستون، تابش ثبت شده توسط آشکارساز به چگالی ماده بین چشم و آشکارساز بستگی دارد. شدت تابش ثبت شده در آشکارساز با رابطه ۱ بیان می شود:

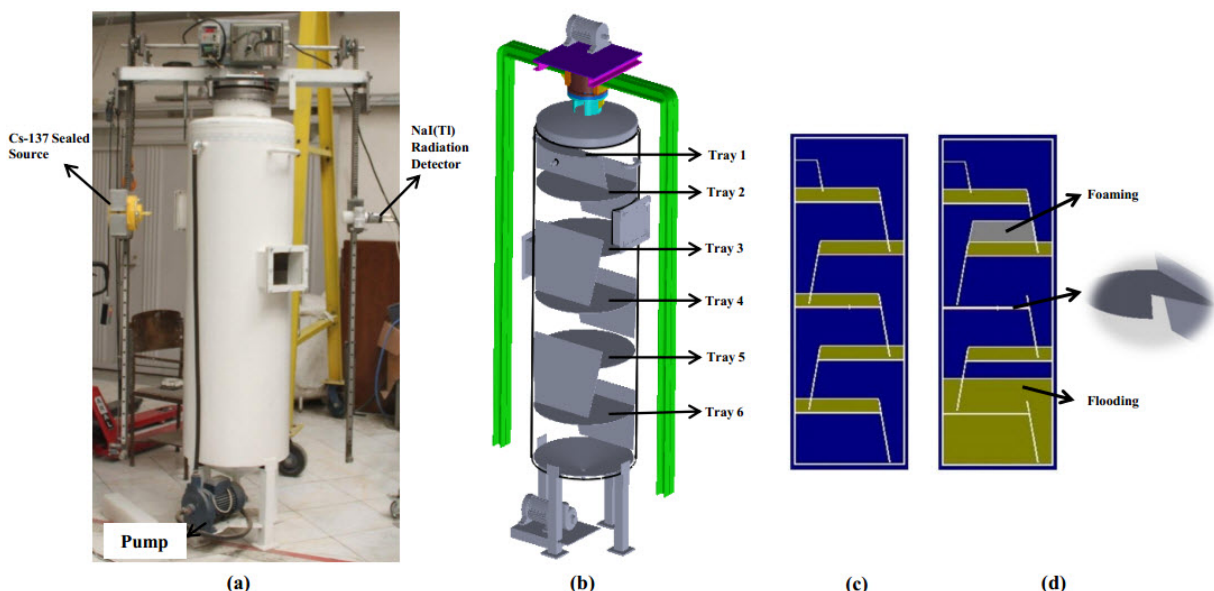
$$I = BI_0 \exp(-\mu_m \rho x) \quad (1)$$

که در آن، I شدت تابش گامای عبوری از ماده، B ضریب انباست، I_0 شدت تابش گامای فرودی، x طول مسیر تابش، μ_m ضریب تضعیف جرمی و ρ چگالی ماده می باشد. همان طور که از رابطه ۱ پیدا است، شدت تابش عبوری از ماده با افزایش چگالی به صورت نمایی کاهش می یابد. بنابراین در برج های

^۱Dowcomer

شدند و در هر گام شمارش‌های زیر قله سزیم در ۱۰ ثانیه ثبت شده و نمودار شمارش‌ها بر حسب ارتفاع بدست آمد.

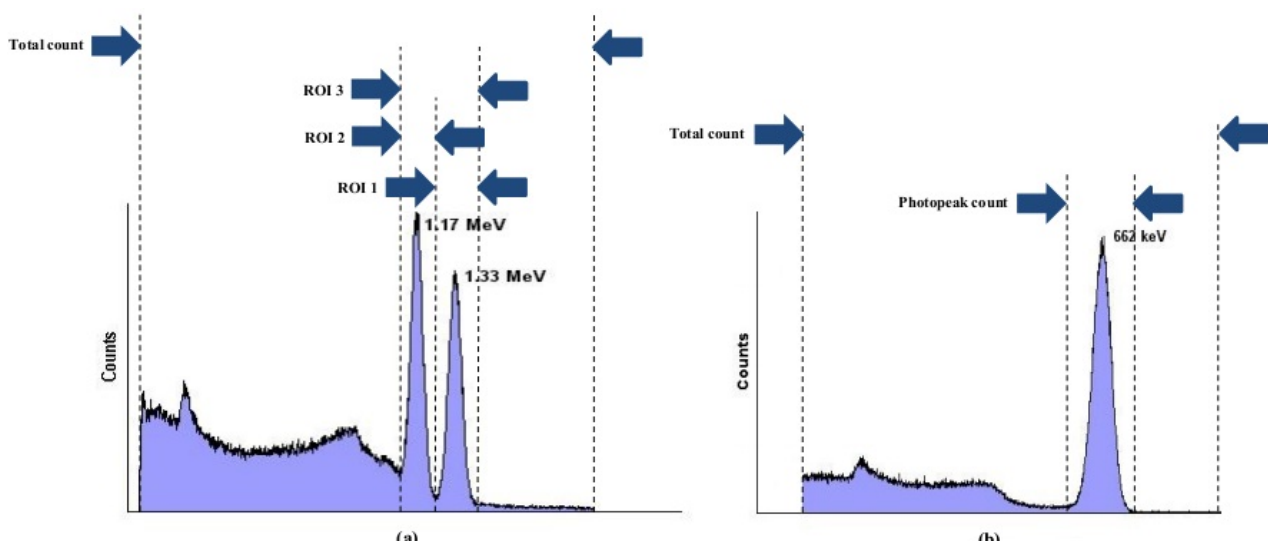
برای صحت‌سنجی داده‌های شبیه‌سازی، چشمه و آشکارساز با گام‌هایی ۵ میلی‌متری رو به روی هم پایین آورده



شکل (۱): چیدمان اسکن ستون نقطیر، (a) و (b) چیدمان تجربی، (c) و (d) شرایط عملکرد عادی و عیب‌دار شبیه‌سازی شده.

گرفتند. محدوده‌های مختلف انرژی (ROI) استفاده شده در شکل ۲ نشان داده شده‌اند.

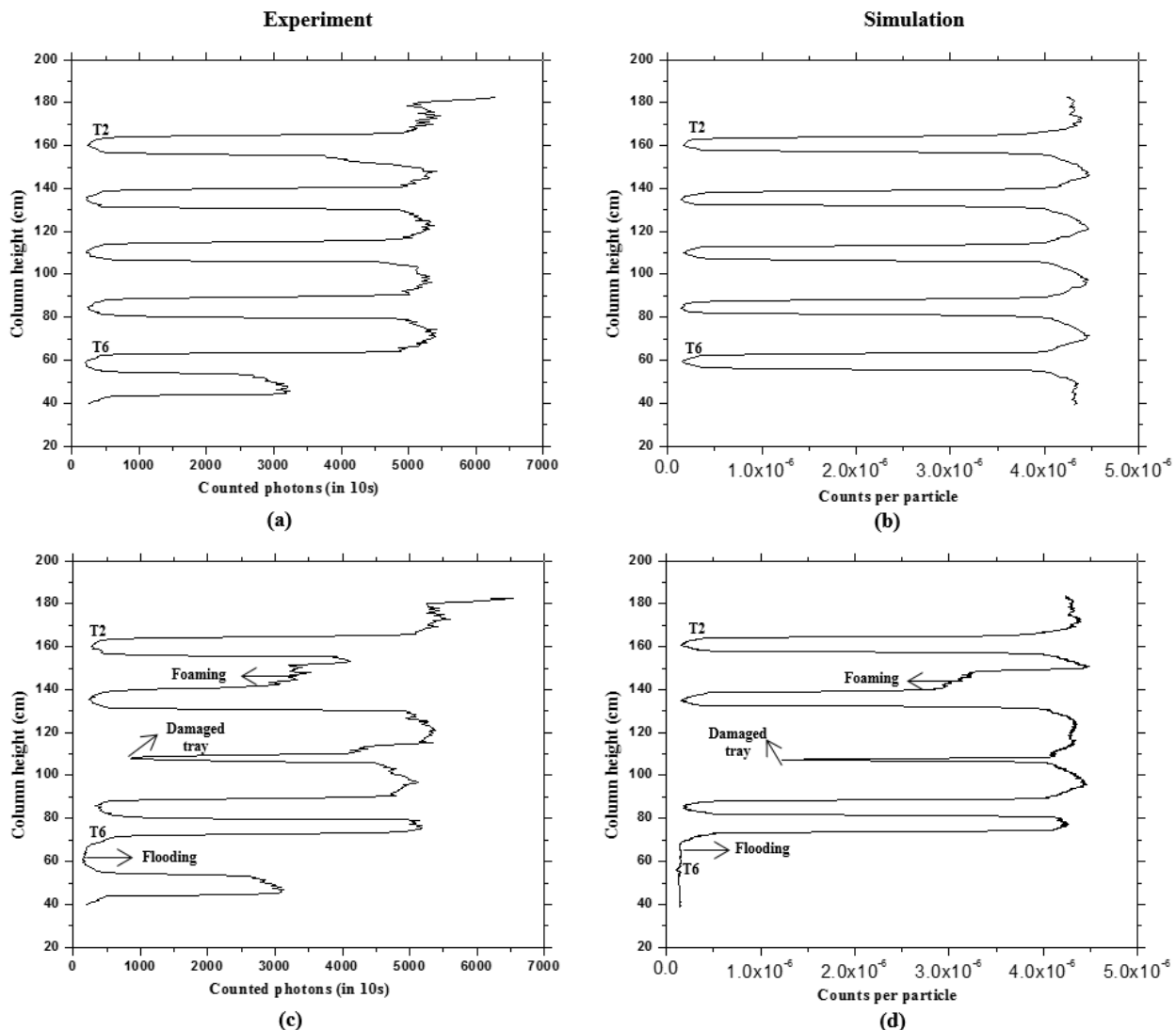
برای بررسی تأثیر انرژی چشمه روی پروفایل شمارش، شمارش‌های زیر قله و شمارش‌های کل چشمه‌های Co-60 و Cs-137 با استفاده از آشکارساز NaI مورد استفاده قرار



شکل (۲): محدوده‌های انرژی مختلف استفاده شده در شبیه‌سازی: (a) ROI₃=(1.07-1.45) MeV, ROI₂=(1.07-1.25) MeV, ROI₁=(1.25-1.45) MeV. (b) محدوده فتوپیک (0.55-0.73) MeV

باشد. تفاوت نتایج شبیه‌سازی و تجربی در تضعیف زیر سینی ۶ قسمت‌های (a) و (b) شکل ۳ به دلیل سطح مایع پایه در برج تقطیر آزمایشگاهی می‌باشد که عمداً در نتایج شبیه‌سازی در نظر گرفته نشده است. همچنین تفاوت نتایج تجربی و شبیه‌سازی زیر سینی ۶ در حالت عملکرد عیب‌دار برج به خاطر عیب طغیان شدید در نظر گرفته شده در محاسبات شبیه‌سازی می‌باشد.

تأثیر محدوده‌های انرژی مختلف چشم‌های Co-60 و Cs-137 بر روی پروفایل شمارش در شکل ۴ نشان داده شده است.

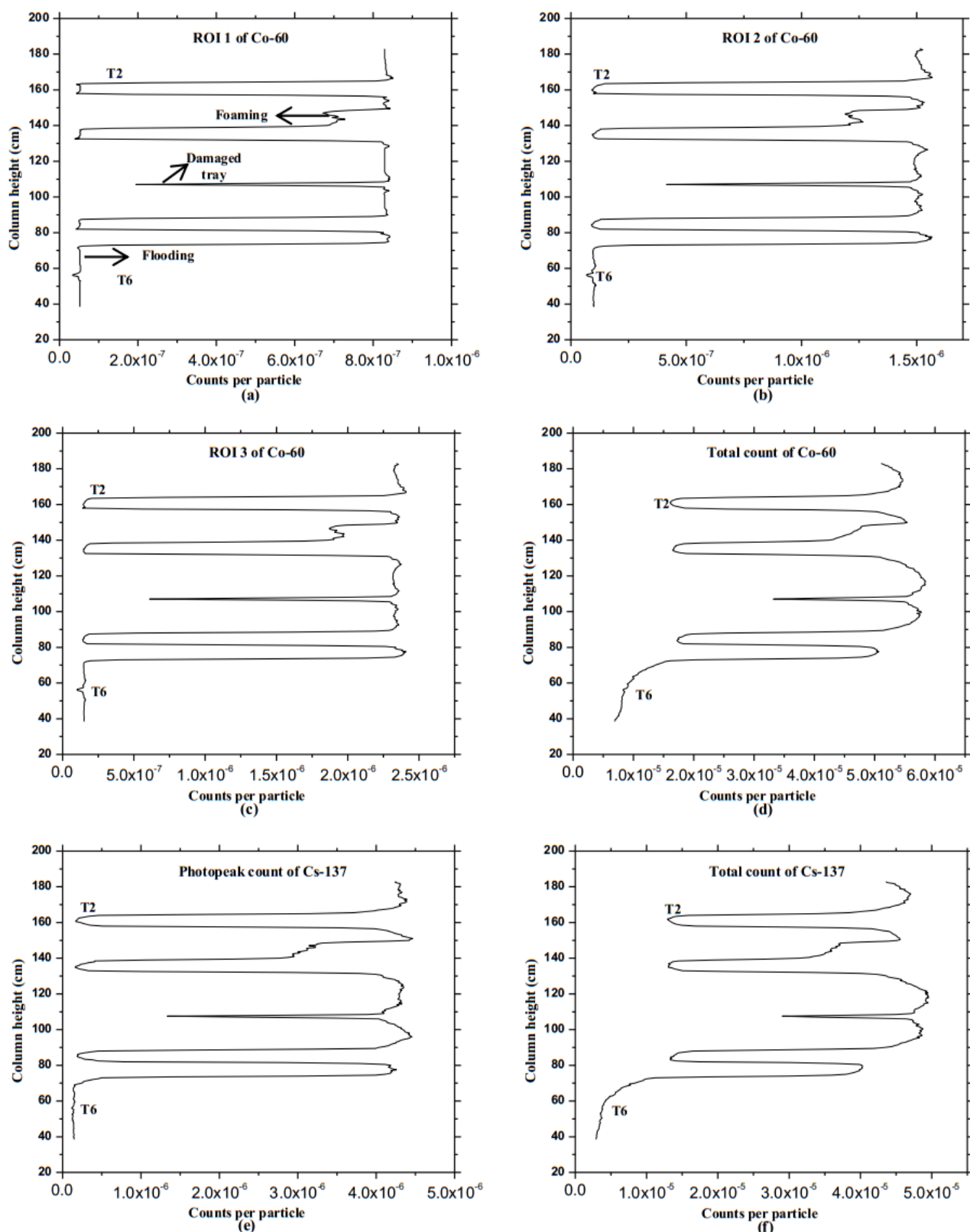


شکل (۳): نتایج تجربی و شبیه‌سازی اسکن ستون تقطیر در شرایط عملکردی عادی ((a) و (b)) و عیب‌دار ((c) و (d)).

۳. نتایج و بحث

در شکل ۳ نتایج شبیه‌سازی و تجربی اسکن ستون تقطیر آزمایشگاهی در شرایط عملکرد عادی و عیب‌دار آورده شده است.

همان‌طور که در شکل ۳ دیده می‌شود، هر دو حالت عملکردی عادی و عیب‌دار ستون تقطیر آزمایشگاهی به درستی تشخیص داده شده‌اند. مکان سینی‌ها به درستی توسط نتایج تجربی و شبیه‌سازی حاصل شده‌است. به این نکته باید توجه کرد که تفاوت در پهنه‌ای قله‌ها به دلیل تقریبات به کار گرفته شده در تخمین سطح مایع روی سینی‌ها در شبیه‌سازی می-



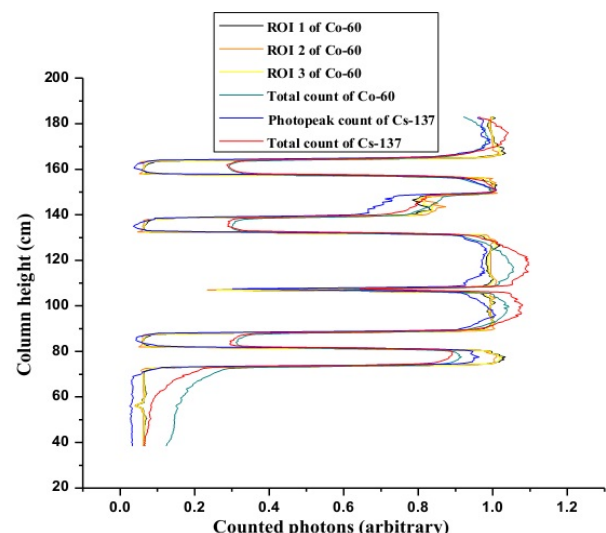
شکل (۴): پروفایل های شمارش بدست آمده از اسکن ستون نقطی به ازای ROI های مختلف چشمه های Co-60 و Cs-137

- پرتوهای آن آمار شمارش بهتری را موجب شود.
- اگرچه استفاده از شمارش‌های زیر قله منجر به پروفایل‌های شمارش با کیفیت‌تر می‌شود، اما آمار شمارش در آن بدتر می‌شود.
- در استفاده از چشم Co-60 برای اسکن ستون تقطیر، ROI3 به دلیل کیفیت پروفایل بهتر و آمار شمارش بالاتر توصیه می‌شود.
- عیب کف روی سینی با استفاده از چشم Cs-137 بهتر تشخیص داده می‌شود که به دلیل اندرکنش بیشتر پرتوهای کم انرژی گامای آن با فوم می‌باشد.

۴. نتیجه‌گیری

در این کار تأثیر انرژی چشم بر کیفیت پروفایل شمارش به دست آمده از تکنیک اسکن به کمک پرتوهای گاما در یک ستون تقطیر آزمایشگاهی با استفاده از شبیه‌سازی با کد مونت کارلوی MCNPX مورد بررسی قرار گرفت. بر اساس نتایج به دست آمده، عیوبها به درستی در مکان خود با استفاده از هر دو چشم Co-60 و Cs-137 تشخیص داده شدند. همچنین با استفاده از چشم Cs-137 آمار شمارش بهتری برای ستون تقطیر مذکور حاصل می‌شود و با این چشم عیوب کف روی سینی بهتر تشخیص داده می‌شود.

برای مقایسه بهتر این پروفایل‌ها، شمارش‌های نرمال شده در شکل ۵ آورده شده است.



شکل (۵): پروفایل‌های شمارش نرمال شده به دست آمده از اسکن ستون تقطیر به ازای ROI‌های مختلف چشم‌های Co-60 و Cs-137

بر اساس نتایج شکل‌های ۴ و ۵، نتایج زیر حاصل می‌شود:

- در همه حالات کف روی سینی، سینی معیوب و طغیان مایع به درستی تشخیص داده شده‌اند.
- با استفاده از چشم Cs-137 آمار شمارش بهتری نسبت به چشم Co-60 حاصل می‌شود. این برتری به دلیل بازدهی بالاتر آشکارساز به گاماهای کم انرژی چشم سریع می‌باشد. برای ستون‌های با قطر و ضخامت بیشتر ممکن است چشم Co-60 به دلیل عمق نفوذ بیشتر

۵. مراجع

- [1] P. Walinjkar, and G. Singh. Dual energy gamma scanning technique to analyze condition of distillation columns, Indian Journal of pure & Applied Physics, 49 (2011) 669-672.
- [2] H. Shahabinejad, S.A.H. Feghhi, M. Khorsandi. Structural Inspection and Troubleshooting Analysis of a Lab-Scale Distillation Column Using Gamma Scanning Technique in Comparison with Monte Carlo Simulations, Measurement, 55 (2014) 375-381.
- [3] International Atomic Energy Agency (IAEA), Industrial Process Gamma Tomography, (2008).
- [4] J. Abdullah, Gamma-ray scanning for troubleshooting, optimization and predictive maintenance of distillation
- [5] H. Shahabinejad, S.A.H. Feghhi, and M. Khorsandi. Impact of Measurement Approach on the Quality of Gamma Scanning Density Profile in a Tray Type Lab-Scale Column, Radiation Measurements. 61 (2014) 1-5.
- [6] H. Shahabinejad, S.A.H. Feghhi. Design, optimization and performance of source and detector collimators for gamma-ray scanning of a lab-scale distillation column, Applied Radiation and Isotopes 99 (2015) 25-34.
- [7] H.G. Hughes. MCNPX TMx 2.4.0, User's Manual – Version 2.4.0, Los Alamos National Laboratory, LA-CP-02-408, (2002).